

## 项目三

# 三相可控整流电路

### 任务一 了解整流电镀电路的工作原理

在电镀、电解等行业要求电源具有自动换相的功能,而且不仅要求电源设备具有稳压、稳流的功能,还要求电源设备操作简便、运行可靠、自动化程度高。

图 3-1 是自动换向电镀电源电路图,电镀工艺要求电源输出的直流电压在 6~48V,直流电流可从几十安到几千安至几万安。其主电路采用两组反并联的晶闸管整流器,共用一台双反星带平衡电抗器的整流变压器。电源控制系统主要由触发调节单元、信号变换及故障保护单元、以 PLC 为核心的脉冲逻辑切换单元及继电器控制等部分组成。

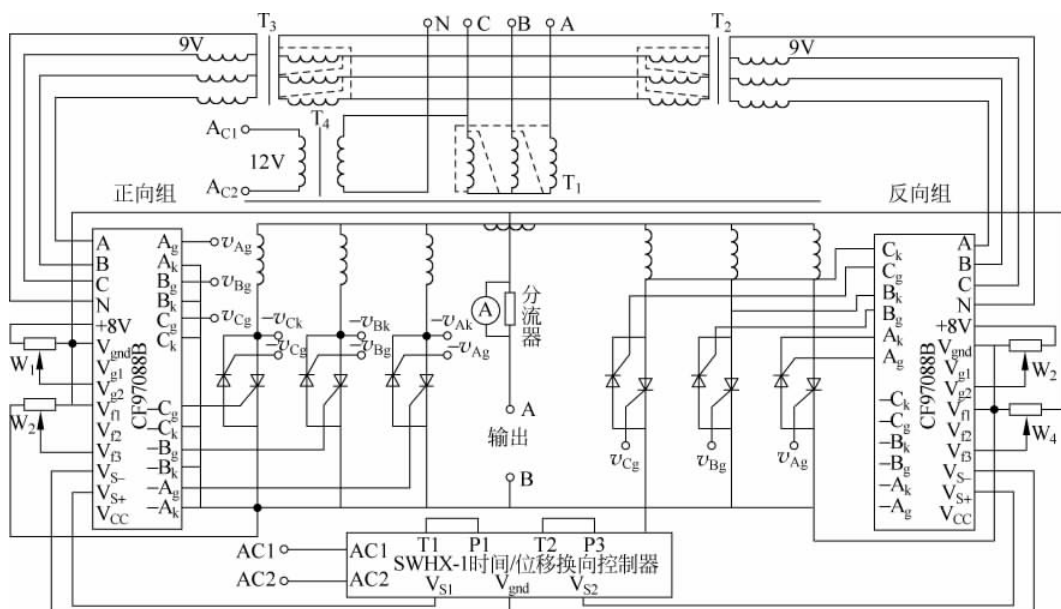


图 3-1 自动换向电镀电源电路图

当设备容量较大、输出电压脉动要求较小、对控制的快速性有要求时,多采用三相可控整流电路。

**知识点：**

- (1) 掌握三相半波可控整流电路电阻性负载、电感性负载的工作原理与波形分析。
- (2) 掌握三相桥式全控可控整流电路电阻负载、电感负载的工作原理与波形分析。
- (3) 理解可控整流电路的应用范围,根据直流用电设备的要求正确选择电路元器件参数。

**技能点：**

- (1) 掌握三相可控整流电路的调试步骤与方法,能够准确调试和使用晶闸管变流装置。
- (2) 能够对三相可控整流电路不同负载情况下,波形特点与参数关系作全面分析。
- (3) 能够排查和修复三相可控整流电路的一般常见故障。

## 任务二 三相半波可控整流电路学习与实践

### 一、任务描述

三相可控整流电路的形式有三相半波、三相全控桥、三相半控桥等电路,它们都可视为三相半波电路以不同方式的串联和并联而成。

### 二、知识学习

#### (一) 电阻性负载

三相半波可控整流电路如图 3-2(a)所示。TR 为三相整流变压器,晶闸管  $VT_1$ 、 $VT_3$ 、 $VT_5$  分别与变压器的 U、V、W 三相相连,三只晶闸管的阴极接在一起经负载电阻  $R_d$  与变压器的中性线相连,它们组成共阴极接法电路。

#### 1. 电路工作原理与波形分析

整流变压器的二次侧相电压有效值为  $U_2$  表示为

$$u_U = \sqrt{2}U_2 \sin \omega t$$

$$u_V = \sqrt{2}U_2 \sin(\omega t - 2\pi/3)$$

$$u_W = \sqrt{2}U_2 \sin(\omega t + 2\pi/3)$$

三相中哪一相所接的晶闸管可被触发导通,取决于三只晶闸管各自所接的  $u_U$ 、 $u_V$ 、 $u_W$  中哪一相电压瞬间值最高,则该相所接晶闸管可能被触发导通,而另外两管则承受反向电压而阻断。

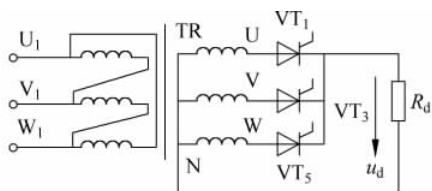
下面分析当控制角  $\alpha$  不同时,整流电路的工作原理。

当控制角  $\alpha=0^\circ$  时,晶闸管  $VT_1$ 、 $VT_3$ 、 $VT_5$  相当于三个整流二极管,有如图 3-2 所示的电压波形。 $\omega t_1 \sim \omega t_3$  期间, $u_U$  瞬间值最高,U 相所连的晶闸管  $VT_1$  可被触发导通,输出电压  $u_d = u_U$ ,V 相和 W 相所接  $VT_3$ 、 $VT_5$  承受反向线电压而阻断; $\omega t_3 \sim \omega t_5$  期间, $u_V$  瞬时值最高, $VT_3$  可被触发导通,输出电压  $u_d = u_V$ , $VT_1$ 、 $VT_5$  承受反向线电压而阻断; $\omega t_5 \sim \omega t_7$  期间, $u_W$  瞬间值最高, $VT_5$  导通,输出电压  $u_d = u_W$ , $VT_1$ 、 $VT_3$  承受反向线电压而阻断。依次循环,每管导通  $120^\circ$ ,三相电源轮流向负载供电,负载电压  $u_d$  为三相电源电压正半周包络线,脉动频率为 150Hz。

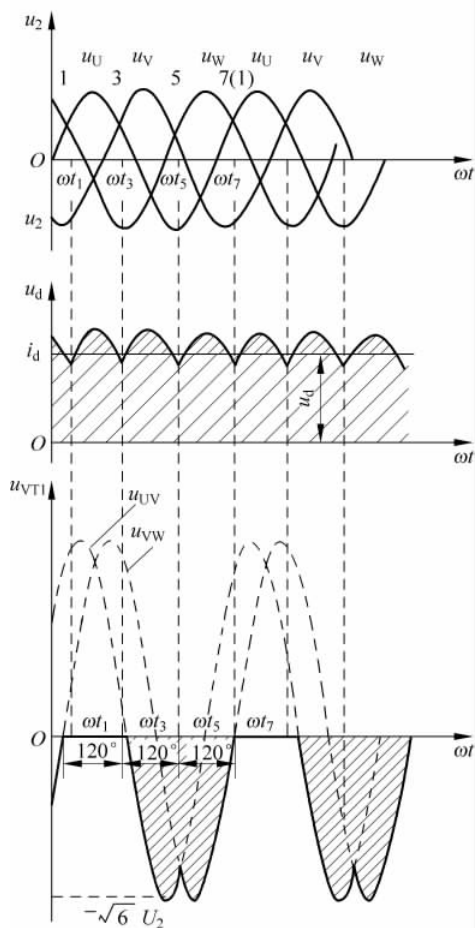
在图 3-2(b)中  $\omega t_1$ 、 $\omega t_3$ 、 $\omega t_5$  所对应的 1、3、5 三个点,称为自然换相点,分别是三只晶闸管轮换导通的起始点。当  $\alpha=0^\circ$  时,晶闸管  $VT_1$  上的电压波形如图 3-2(b)所示,在

$\omega t_1 \sim \omega t_3$  期间导通,管压降为零;在  $\omega t_3 \sim \omega t_5$  期间,VT<sub>3</sub> 导通,VT<sub>1</sub> 承受反相线电压  $u_{UV}$ ;在  $\omega t_5 \sim \omega t_7$  期间,VT<sub>5</sub> 导通,VT<sub>1</sub> 承受反向线电压  $u_{UW}$ 。

当控制角  $\alpha=15^\circ$  时,图 3-3 所示为触发脉冲  $\alpha=15^\circ$  时的波形。晶闸管 VT<sub>1</sub> 被触发导通,输出直流电压波形由  $u_W$  换成  $u_U$ ,VT<sub>1</sub> 的导通使晶闸管 VT<sub>5</sub> 承受  $u_{UW}$  反向电压而被强迫关断,负载电流  $i_d$  从 W 相换到 U 相。以此类推,负载电流  $i_d$  波形与  $u_d$  波形相似,而流过晶闸管 VT<sub>1</sub> 的电流  $i_T$  波形是  $i_d$  波形的 1/3。

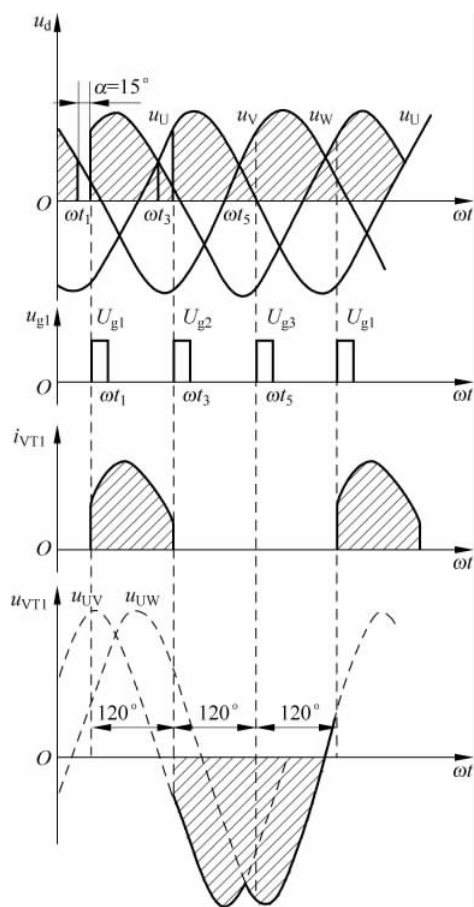


(a) 电路图



(b) 波形图

图 3-2 三相半波可控整流电路

图 3-3 三相半波可控整流电路  $\alpha=15^\circ$  时的电路波形

当控制角  $\alpha=60^\circ$  时,输出电压  $u_d$  波形及负载电流  $i_d$  波形将中断,三只晶闸管都在本相电源电压过零时自行关断。显然,当触发脉冲后移到  $\alpha=150^\circ$  时,由于晶闸管已不再承受正向电压而无法导通,  $U_d=0V$ , 所以,三相半波可控整流电路带电阻性负载时,其移相角  $\alpha$  的可调控范围是  $0^\circ\sim 150^\circ$ 。

## 2. 基本概念

自然换相点是各项所接晶闸管可能被触发导通的最早时刻。在此之前由于晶闸管承受反向电压,导通是不可能的,因此把自然换相点作为计算控制角  $\alpha$  的起点,即该点  $\alpha=0^\circ$ , 对应于  $\omega t=30^\circ$ 。

## 3. 参数关系

1) 连续区间  $0^\circ\leq\alpha\leq 30^\circ$  时

$$U_d = \frac{3}{2\pi} \int_{\frac{\pi}{6}+\alpha}^{\frac{\pi}{6}+\alpha+\frac{2\pi}{3}} \sqrt{2}U_2 \sin\omega t d(\omega t) = 1.17U_2 \cos\alpha = U_{d0} \cos\alpha \quad (3-1)$$

式中:  $U_{d0}$  是指  $\alpha=0^\circ$  时输出直流平均电压,  $U_{d0}=1.17U_2$ 。

2) 断续区间  $30^\circ\leq\alpha\leq 150^\circ$  时

$$\begin{aligned} U_d &= \frac{3}{2\pi} \int_{\frac{\pi}{6}+\alpha}^{\pi} \sqrt{2}U_2 \sin\omega t d(\omega t) = \frac{3\sqrt{2}U_2}{2\pi} \left[ 1 + \cos\left(\frac{\pi}{6} + \alpha\right) \right] \\ &= 0.675U_2 \left[ 1 + \cos\left(\frac{\pi}{6} + \alpha\right) \right] \end{aligned} \quad (3-2)$$

负载电流平均值:

$$I_d = U_d / R_d \quad (3-3)$$

流过晶闸管的电流平均值:

$$I_{dT} = \frac{1}{3} I_d \quad (3-4)$$

晶闸管承受的最高电压:

$$U_{TM} = \sqrt{6}U_2 \quad (3-5)$$

## (二) 电感性负载

### 1. 工作原理和波形

1) 无续流二极管

大电感负载的三相半波可控整流电路如图 3-4 所示。由于负载是大电感,所以只要输出电压平均值  $U_d$  不为零,晶闸管导通角均为  $120^\circ$ , 与控制角  $\alpha$  无关。其电流波形近似为方波,如图 3-5 所示。

从图 3-5 中可以看出,由于电感  $L_d$  的作用,当  $\alpha>30^\circ$  后  $u_d$  波形出现负值,只要电感量足够大,晶闸管导通才能维持到下一相晶闸管被触发导通为止,使之承受反向线电压而被强迫关断。 $u_d$  波形出现负面积,但只要正面积能大于负面积,其整流输出电压平均值总是大于零,电流  $i_d$  可连续平稳。当触发脉冲后移到  $\alpha\geq 90^\circ$  后,  $u_d$  波形的正负面积相等,输出电压平均值为零,大电

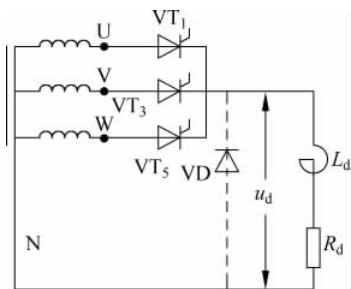


图 3-4 大电感负载的三相半波可控整流电路

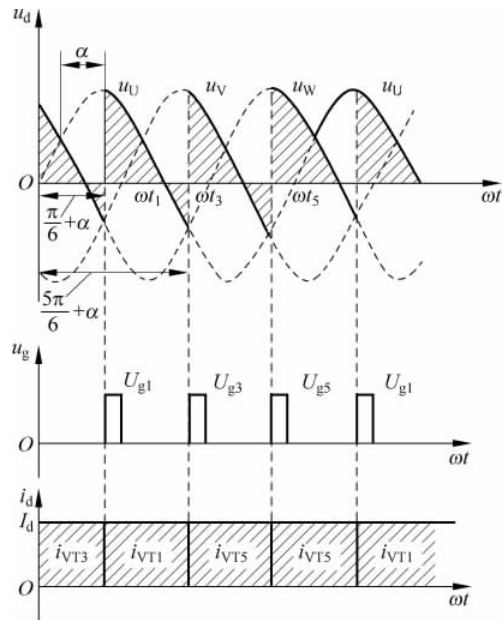


图 3-5 三相半波可控整流电路大电感负载波形

感负载不接续流管时,其移相范围  $\alpha=0^\circ\sim 90^\circ$ 。

## 2) 接续流二极管

为了扩大移相范围并使负载电流  $i_d$  平稳,可在电感负载两端并接续流二极管 VD,由于续流管的作用, $u_d$  的波形不出现负值,与电阻性负载  $u_d$  波形相同,如图 3-6 所示。

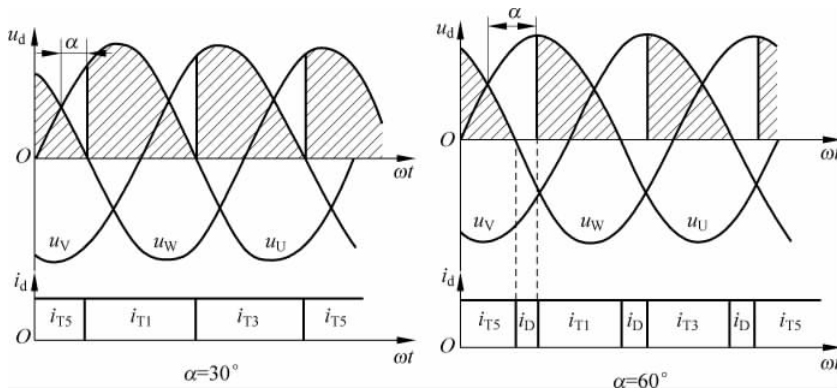


图 3-6 大电感负载接续流二极管波形

由图 3-6 可知,当  $0^\circ\leq\alpha\leq 30^\circ$  时,电源电压均为正值, $u_d$  波形连续,续流管不起作用;当  $30^\circ<\alpha\leq 150^\circ$  时,电源电压出现过零变负时,续流管及导通为负载电流提供续流回路,晶闸管承受反向电源相电压而关断。 $u_d$  波形断续但不出现负值。

## 2. 三相半波共阳极可控整流电路

将三只晶闸管的阳极连接在一起,而三个阴极分别接到三相交流电源,这种接法称为

共阳极接法,如图 3-7 所示。由于三只晶闸管  $VT_2$ 、 $VT_4$ 、 $VT_6$  的阳极连接在一起并等电位,可把三只晶闸管的阳极固定在同一块大散热器上,散热效果好,安装也方便。

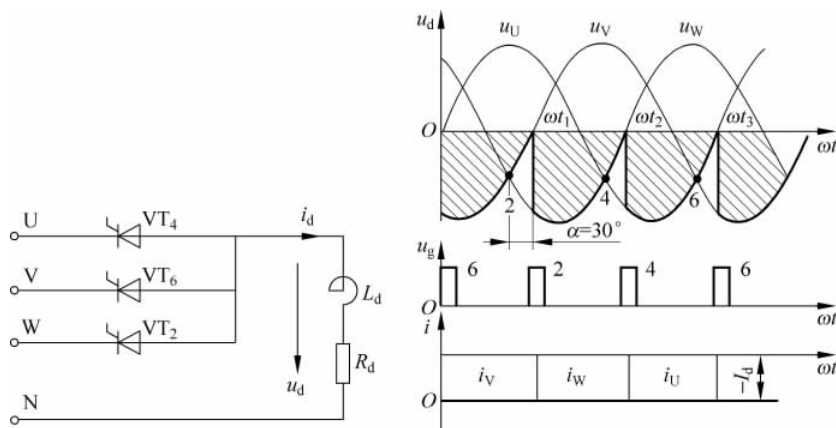


图 3-7 共阳极接法的三相半波可控整流电路

共阳极接法电路与共阴极接法电路一样,都是在晶闸管阳极电位高于阴极电位时才能被触发导通。所以, $VT_2$ 、 $VT_4$ 、 $VT_6$  在电源相电压负半周时工作,自然换相点分别为 2、4 及 6。所以大电感负载时共阳极三相半波可控整流输出电压平均为

$$U_d = -1.17U_2 \cos\alpha = -U_{d0} \cos\alpha$$

式中:负号表示变压器中性线为  $U_d$  的正端,三个连接在一起的阳极为负端。电路各电量计算与共阴极接法相同。

### 3. 参数关系

#### 1) 无续流二极管

##### (1) 输出电压平均值 $U_d$

$$U_d = \frac{3}{2\pi} \int_{\pi/6+\alpha}^{5\pi/6+\alpha} \sqrt{2}U_2 \sin\omega t d(\omega t) = 1.17U_2 \cos\alpha = U_{d0} \cos\alpha \quad (3-6)$$

##### (2) 负载电流平均值

$$I_d = U_d / R_d \quad (3-7)$$

##### (3) 流过晶闸管的电流平均值 $I_{dT}$ 、有效值 $I_T$ 以及承受的最高电压 $U_{TM}$ 分别为

$$I_{dT} = \frac{1}{3}I_d, \quad I_T = \sqrt{\frac{1}{3}}I_d, \quad U_{TM} = \sqrt{6}U_2 \quad (3-8)$$

#### 2) 接续流二极管

##### (1) 负载电压平均值 $U_d$ 和电流平均值 $I_d$

当  $0^\circ \leq \alpha \leq 30^\circ$  时:

$$U_d = 1.17U_2 \cos\alpha = U_{d0} \cos\alpha$$

当  $30^\circ \leq \alpha \leq 150^\circ$  时:

$$\begin{aligned} U_d &= 3 \times 0.45U_2 \left[ 1 + \cos\left(\frac{\pi}{6} + \alpha\right) \right] / 2 \\ &= 0.675U_2 \left[ 1 + \cos\left(\frac{\pi}{6} + \alpha\right) \right] \end{aligned} \quad (3-9)$$

## (2) 负载电流

$$I_d = U_d / R_d \quad (3-10)$$

(3) 晶闸管电流平均值  $I_{dT}$ 、有效值  $I_T$  及晶闸管承受的最高电压值  $U_{TM}$

当  $0^\circ \leq \alpha \leq 30^\circ$  时:

$$I_{dT} = \frac{1}{3} I_d, \quad I_T = \sqrt{\frac{1}{3}} I_d, \quad U_{TM} = \sqrt{6} U_2 \quad (3-11)$$

当  $30^\circ \leq \alpha \leq 150^\circ$  时:

$$I_{dT} = \frac{150^\circ - \alpha}{360^\circ} I_d, \quad I_T = \sqrt{\frac{150^\circ - \alpha}{360^\circ}} I_d, \quad U_{TM} = \sqrt{6} U_2 \quad (3-12)$$

(4) 续流管电流平均  $I_{dD}$ 、有效值  $I_D$  及承受的最高电压  $U_{DM}$  ( $30^\circ \leq \alpha \leq 150^\circ$ )

$$I_{dD} = \frac{\alpha - 30^\circ}{120^\circ} I_d, \quad I_D = \sqrt{\frac{\alpha - 30^\circ}{120^\circ}} I_d, \quad U_{DM} = \sqrt{6} U_2 \quad (3-13)$$

### 三、仿真实践

下面介绍三相半波可控整流电路系统的建模方法,并对仿真结果进行分析。

#### (一) 模型的建立

晶闸管三相半波可控整流电路电阻电感负载仿真模型如图 3-8 所示,电路模型将三个晶闸管模块封装成三相半波可控整流器子系统,三相电源连接到  $U_A$ 、 $U_B$ 、 $U_C$ ,触发脉冲矢量信号连接到脉冲输入端  $U_g$ ;可控整流器的输出 N 端连接负载,  $VT_1$ 、 $VT_3$  和  $VT_5$  分别是三只晶闸管的电压、电流参数输出端,根据需要可以观察晶闸管工作时的波形。三相半波可控整流器子系统如图 3-9 所示,三只晶闸管的阳极 A 分别与三相输入电源相接,晶闸管的阴极 K 通过 T 型端子连接,形成共阴极接法,脉冲矢量信号  $U_g$  通过多路信号选择模块 (Selector),将六路脉冲中的第 1 路、第 3 路、第 5 路连接至  $VT_1$ 、 $VT_3$  和  $VT_5$  的脉冲端 g,从而实现晶闸管的触发导通。模型中晶闸管的触发使用了三相整流同步六脉冲触发模块 Synchronized 6-Pulse Generator,发生器模块的同步信号 AB、BC、CA 端分别连接电压测量模块 Voltage Measurement,用以提供脉冲发生器的三相同步信号,Block 端接“0”信号,脉冲发生器的 alpha-deg 端连接常数模块 Constant,用常数模块设定控制角  $\alpha$ 。三相电源的相电压波形同样由电压测量模块得到,并与三路晶闸管脉冲通过信号组合模块 (Mux) 合成后,在示波器 Scope4 上进行观察。

整流电路的电压和电流检测还是使用电压检测模块和电流检测模块,模型中 Voltage Measurement1 检测整流后输出的直流电压,Current Measurement 模块检测整流后输出直流电流,通过示波器 Scope 观察电压、电流的波形并记录,晶闸管模块 VT 的 m 端有电流和电压两路信号,需要用信号分解器 Demux 模块分解后分别观测,模块的提取路径见表 3-1。

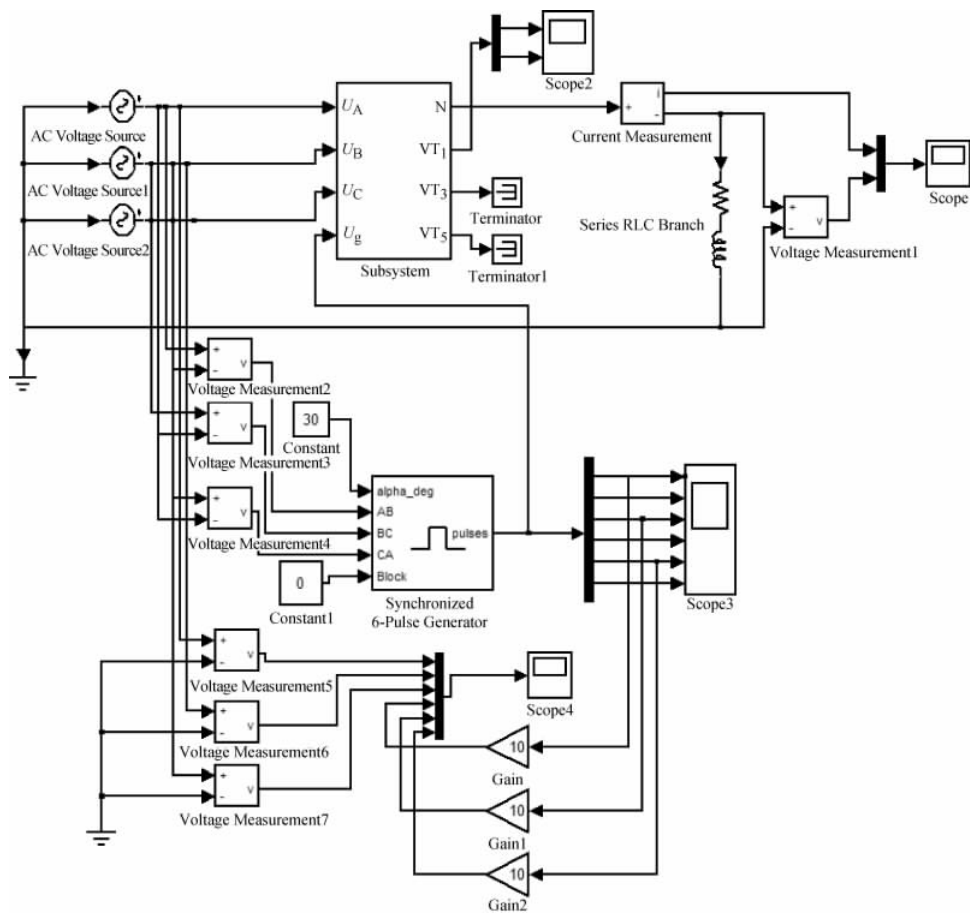


图 3-8 晶闸管三相半波可控整流电路电阻电感负载仿真模型

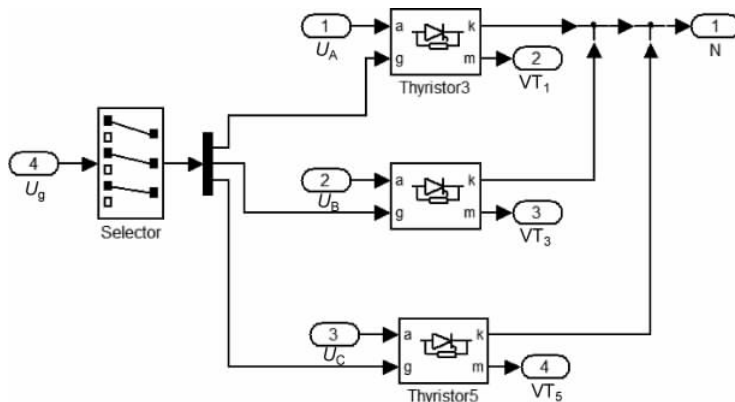


图 3-9 三相半波可控整流器子系统仿真模型

表 3-1 三相半波可控整流电路模块提取路径

模块名	提取路径
交流电源 US	SimPower systems/electrical/AC voltage source
晶闸管 VT	SimPower systems/power electronics/detailed thyristor
触发器 6-Pulse Generator	SimPower systems/extra library/synchronized 6-pulse generator
示波器 Scope	Simulink/sink/scope
控制角给定 Constant	Simulink/commonly used block/constant
信号分解 Demux	Simulink/signals routing/demux
信号汇合 Mux	Simulink/signals routing/mux
负载 Series RLC Branch	SimPower systems/elements/series RLC branch
电压检测 Voltage Measurement	SimPower systems/measurements/voltage measurement
电流检测 Current Measurement	SimPower systems/measurements/current measurement
多路信号选择模块 Selector	Simulink/signals routing/selector
常数模块 Gain	Simulink/math operations/gain
终端模块 Terminator	Simulink/sink/terminator

## (二) 模型仿真

### 1. 模块参数

晶闸管模块、示波器模块使用默认的参数,负载 Series RLC Branch 模块可以根据需要选择电阻性或电感性负载,电源、六脉冲触发器和负载等主要参数如表 3-2 所示。

表 3-2 三相半波可控整流电路模块参数

模块名	主要参数	设定值
交流电源 US	Peak amplitude(V)	$220 * \text{sqrt}(2)$
	Frequency(Hz)	50
	Phase(deg)	$0^\circ$ (U相)、 $-120^\circ$ (V相)、 $120^\circ$ (W相)
触发器 6-Pulse Generator	Frequency(Hz)	50
	Amplitude	1
	Pulse width(degrees)	10
负载 Series RLC Branch	电阻性负载( $\Omega$ )	2
	电感性负载(H)	0.7
控制角给定 Constant	$0^\circ \sim 180^\circ$	$0^\circ$
多路信号选择 Selector	Input port width	6
	Elements	1,3,5

### 2. 仿真参数

仿真时间为  $0 \sim 2\text{s}$ ,仿真算法为 ode23tb,改善因子为 10,其他仿真参数使用参数窗口默认的参数,如图 3-10 所示。

## (三) 仿真结果与分析

### 1. 电阻性负载

观察三相半波可控整流电路,电阻性负载  $R=2\Omega$ ;控制角  $\alpha=0^\circ$ 整流器输出的电

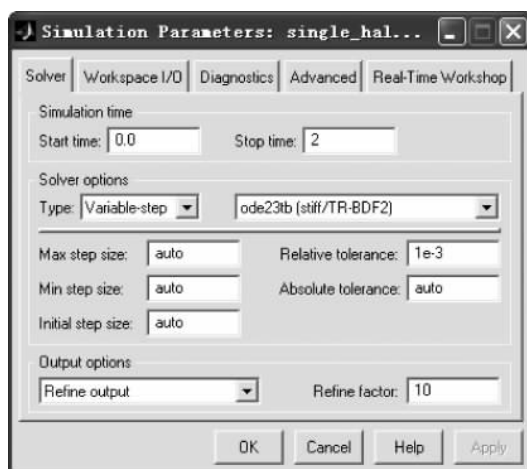


图 3-10 仿真参数窗口

压、电流波形如图 3-11 所示。从波形可以看出,三相半波可控整流电路在一个周期内,负载电压  $u_d$  为三相电源电压正半周包络线,三相电源轮流向负载供电,每只晶闸管导通  $120^\circ$ 。

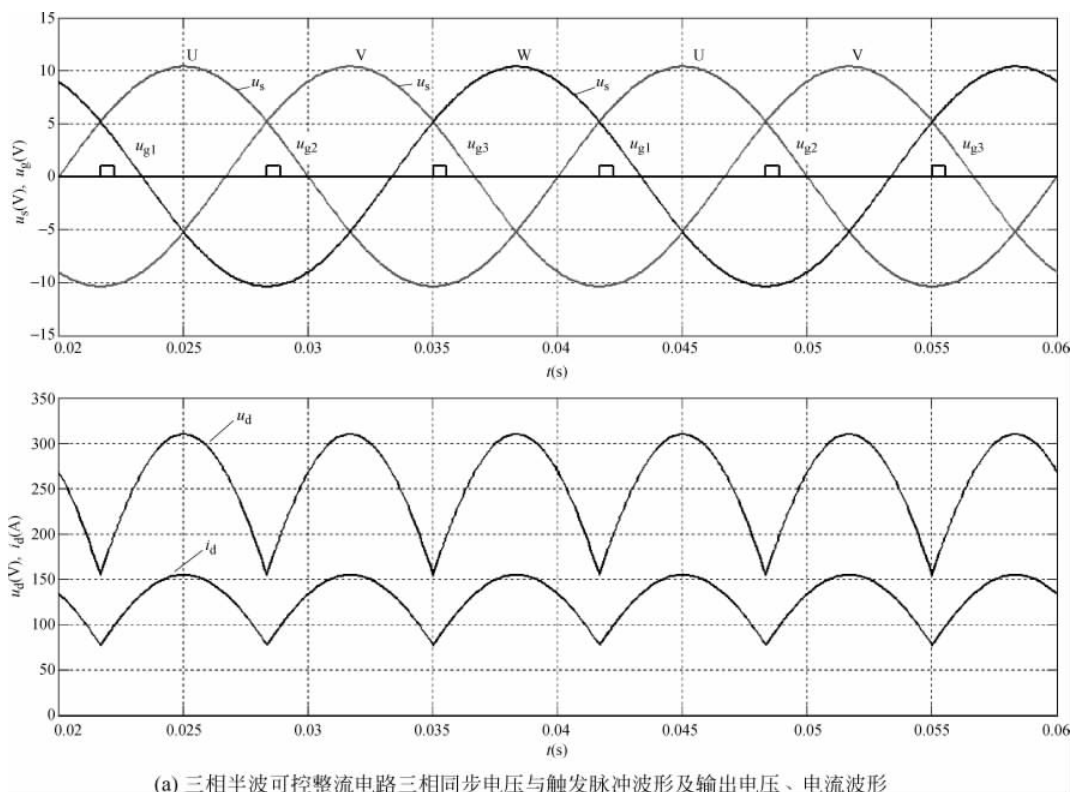


图 3-11 电阻性负载仿真波形